Benchmarking of the Indicator-Based Evolutionary Algorithm using the Bi-Objective BBOB Test Suite

Final report *

Daro Heng Karim Kouki Ahmed Mazari
Mihaela Sorostinean Aris Tritas

ABSTRACT

The objective of this project was to study, implement and benchmark the indicator-based evolutionary algorithm [9] (IBEA) using the Comparing Continuous Optimizer (COCO) platform. Firstly we provide a brief overview of the algorithm. Secondly, we describe our implementation and experimental setup. Finally, we discuss the obtained results and compare them to both baseline approaches and related work.

1. SETTING

In the context of a multi-objective optimization, the main goal is to find a good approximation of the set of Pareto-optimal solutions. An evolutionary algorithm is an exploration strategy of the domain space $\mathbb{R}^n$ which seeks optimal solution vectors defined in the objective space $\mathbb{R}^k$ (here $k = 2$) by promoting at each generation the fittest and/or the newest individuals from a population of decision vectors.

The performance measure used by IBEA for determining the relative quality of two solution sets in the objective space is a binary indicator function $I : \Omega \times \Omega \to \mathbb{R}$. In terms of two decision vectors $\boldsymbol{x}^1$ and $\boldsymbol{x}^2$, the domination relation is defined as : $\boldsymbol{x}^1 \succ \boldsymbol{x}^2 \leftrightarrow (f_i(\boldsymbol{x}^1) \leq f_i(\boldsymbol{x}^2)\ \forall i \in \{1, ..., k\}$ and $f_j(\boldsymbol{x}^1) < f_j(\boldsymbol{x}^2)$ for at least one objective). The epsilon indicator, which is compliant with this domination relationship, is defined for pairwise comparisons as:

$$I_{\epsilon^+}(\{\boldsymbol{x}^1\}, \{\boldsymbol{x}^2\}) = \min_{\epsilon} f_i(\boldsymbol{x}^1) - \epsilon \leq f_i(\boldsymbol{x}^2)\ \forall i \in \{1, ..., k\}$$

. Its focus is to summarize the minimum distance needed to improve on the Pareto set approximation to a single scalar. Intuitively, the reduction to a single scalar may incur a loss of information regarding some dimensions of objective space. Indeed, the fact that the indicator chooses the minimum improvement across all objectives implies *conservative* rather than more *optimistic* updates of the fitness estimate. Clearly, we may miss out on potential improvement on some of the targeted objectives. The fitness value is defined in the sequel as a measure of the usefulness of each individual with regards to the optimization goal. As such, the algorithm tries to maximize it.

$$F(\boldsymbol{x}^1) = \sum_{\boldsymbol{x}^2 \in P \setminus \{\boldsymbol{x}^1\}} -\exp \frac{I(\{\boldsymbol{x}^1\}, \{\boldsymbol{x}^2\})}{\kappa}$$

where P is the population set, and $\boldsymbol{x} \in \mathbb{R}^n$. The fitness function of an approximation set is defined as a *dominance preserving relation.*

Moreover, as the optimization functions are typically unnormalized, IBEA scales both the values taken by the objective function as well as the values taken by the indicator function. Consequently the need for parameter tuning in face of problem and indicator function diversity is decreased.

2. IMPLEMENTATION

The input of the algorithm is the size of the population (α), a maximum number of generations, a budget in function evaluations, and a fitness scaling factor (κ). The output of the algorithm is an approximation of the Pareto-set.

1. **Initialization:** generate an initial population P of given size uniformly between the lower and upper bound of the domain space.
2. **Fitness assignment:** compute and assign a fitness value to each individual in P.
3. **Environmental selection:** detect and remove individuals which have the smallest fitness values from the population until the current size of the population P does not exceed α. Update the fitness values for all remaining individuals.
4. **Termination:** after the environmental selection is performed, the termination criterion of the algorithm is checked; if the maximum number of generations is reached or another termination criterion is met, the algorithm returns the set of decision vectors A.
5. **Mating Selection:** consists in creating as temporary mating pool P' which is filled with individuals from P by performing binary tournament selection with replacement on P.
6. **Variation:** finally the variation step consists applying recombination and mutation operators to the previously created mating pool. The offspring resulting

*Submission deadline: October 21st.
Source code is available at https://github.com/tritas/ibea

ACM ISBN 978-1-4503-2138-9.
DOI: 10.1145/1235

from variation is added to P and the generation counter is incremented. The algorithm is then performed again from step 2, until a termination criterion is met.

Population-related data (i.e decision vectors, objective and fitness values) is stored in a hash table for timely access. All numerical computation is done with NumPy. The optimizer is an object which incurs some overhead in Python. Except for the recombination and mutation operators which were implemented in separate functions to achieve modularity during testing, the optimizer is essentially a single inlined function.

2.1 Recombination

At first, the crossover operators we experimented with were intermediate weighting and discrete recombination. Then we implemented the Simulated Binary Crossover [3],[1]. The results reported here used SBX-5 for recombination.

2.2 Variation

For the mutation step, we began by simply adding isotropic Gaussian noise with fixed variance to the produced offspring. It is well known that fixed variance results in a rather slow search for target vectors. For that reason we implemented derandomized step-size adaptation (Algorithm 2, [5]).

Budget pitfall

Before the intermediate report we used an irrelevant budget value. Thus the start of benchmarking was delayed.

3. EXPERIMENTAL SETUP

Our idea was to evaluate the influence of hyper-parameters on the performance achieved for different function groups and in different number of dimensions. For a reasonably low budget (10^3) and 10^6 to 10^9 number of runs, we tried the following ranges for hyper-parameters (best values in bold):

- Population size $\in \{50, 80, \mathbf{100}, 150, 200\}$
- Number of offspring $\in \{20, 30, 35, 40, \mathbf{50}\}$
- Mutation probability: **low (0.1)**, high (>0.7)
- Crossover probability $\in [0.5, 1.0]$ (best was **0.7**)
- Initial mutation step-size $\in \{1.0, 2.5, \mathbf{5.0}, 10, 15\}$
- Distribution index of the SBX operator: 2 and 5

Our focus was mostly on crossover and mutation probabilities, as well as population and offspring size. Naturally, the total runtime of an experiment depends on the size of the population, the dimension of the problem and the budget. Carrying out experiments with all their combinations would be time consuming. As such, we set for a grid search approach: we fixed all parameters except one to reasonable defaults and tuned the last one by picking values from a range of interest and comparing the output of the test suite.

4. CPU TIMING

In order to evaluate the CPU timing of the algorithm, we have run the IBEAwith restarts on the entire bbob-biobj test suite [8]. The Python code was run on a Intel(R) Core(TM) i7 CPU. For a population size of 100, the time per function evaluation for $10D$ is $2.2ms$ and $6.5ms$ for isotropic and derandomized step-size adaptation mutation respectively.

5. RESULTS

Results of IBEA from experiments according to [7] and [2] on the benchmark functions given in [8] are presented in Figures 3, 4. The experiments were performed with COCO [6], version 15.4. We present here comparative ECDFs on $2D$ and $5D$ with Random Search and NSGA-II [4] as baselines. The comparison is also done with the implementation of IBEA-ϵ in C and the implementation of IBEA with Hypervolume indicator in Python.

Remark

In the aRT tables, IBEA corresponds to the following order: IBEA-ϵ in C, IBEA-ϵ in Python and IBEA-HV in Python (the last one is absent in $5D$)

5.1 Observations

In low dimension, we notice that the instances in which our algorithm performs moderately well is the **separable**, **moderate** and **weakly-structured** case. Examples of this are the separable Ellipsoid (Attractive Sector and Rosenbrock). It fails however in the face of multimodal and ill-conditioned functions.

Clearly, derandomized step-size adaptation performs better than isotropic mutation. Unsurprisingly, the algorithm reached a runtime of $1e{-}3$ iff the variance is adapted. Moreover, extreme values of variance for the isotropic mutation negatively impact the performance of the algorithm.

In higher dimensions, the trends are the same. The supplementary degrees of freedom clearly decreases the number of targets reached.

The fact that our implementation is inferior to random search, independently of problem conditioning, indicates that our evolution strategy either converges to local optima too often, or does not preserve diversity well enough (and that could be a reason why uniform search beats it given high enough budget).

5.2 Related Work

To some extent the comparison of the results achieved with those of the group studing IBEA-HV is quite revealing. Our intuition that the ϵ indicator may be overly simplistic for the wide range of optimization functions benchmarked is in some sense confirmed. Observing the impact of the indicator function on the aRT, overall IBEA-HV not only finds better targets more often, but it also finds them in much fewer evaluations (at least for the $2D$ results given).

Conclusion

For the implementation and benchmarking of a scientifically approved evolution strategy, we were confronted throughtout this project with the scientific process in multi-objective black-box optimization algorithms. We had to autonomously develop and test diverse evolutionary approaches, and furthermore reason about their respective pertinence and effectiveness. Going forward, we could think of indicator functions that may be well-suited for a wide diversity of optimization problems. Of equal importance, we could think of step-size adaptation schemes (e.g CMA) to improve convergence to the global optimum.

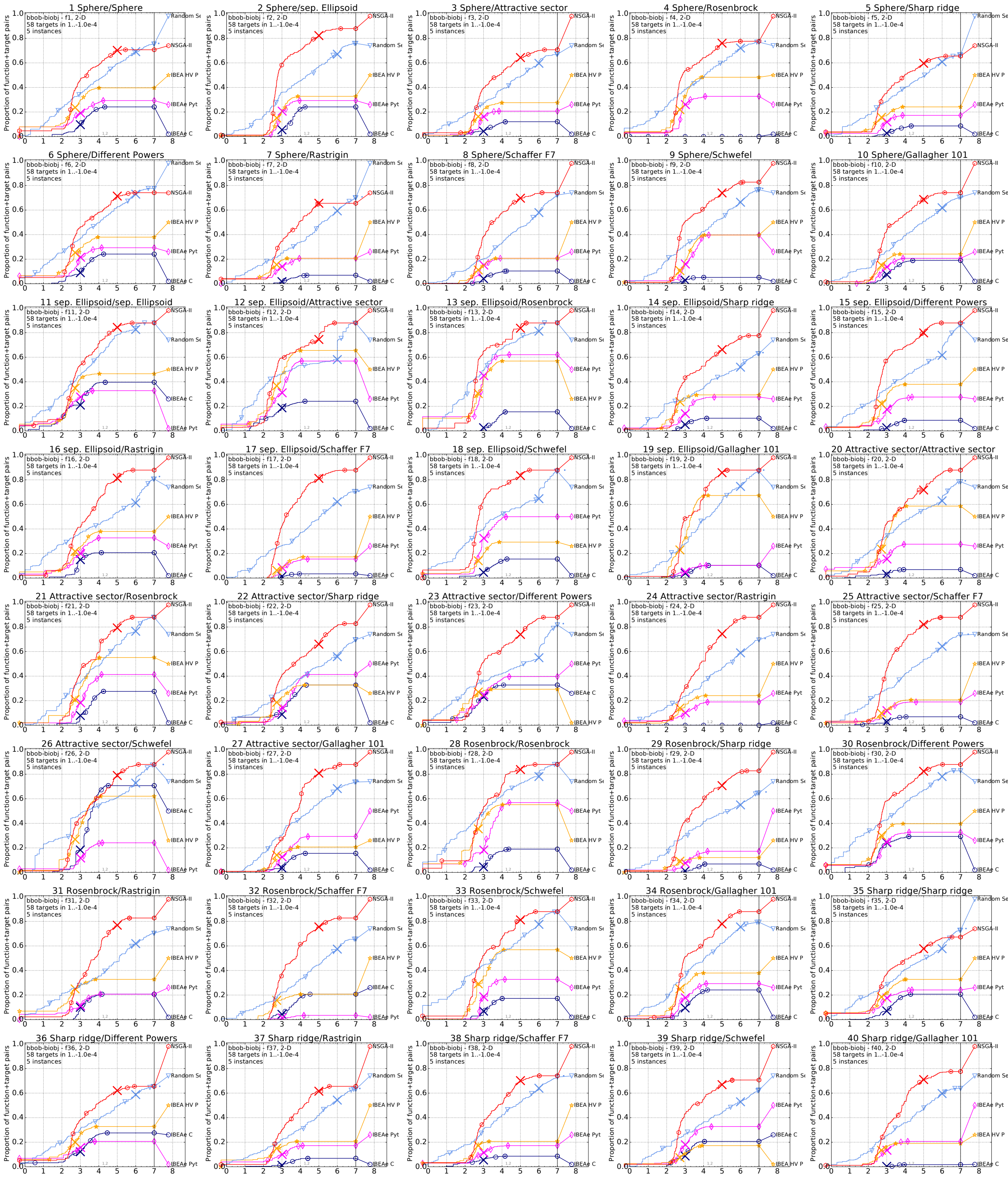

Figure 1: Bootstrapped empirical cumulative distribution of the number of objective function evaluations divided by dimension (FEvals/DIM) for 58 targets with target precision in $\{-10^{-4}, -10^{-4.2}, -10^{-4.4}, -10^{-4.6}, -10^{-4.8}, -10^{-5}, 0, 10^{-5}, 10^{-4.9}, 10^{-4.8}, \ldots, 10^{-0.1}, 10^{0}\}$ for each single function f_1 to f_{40} in 2-D.

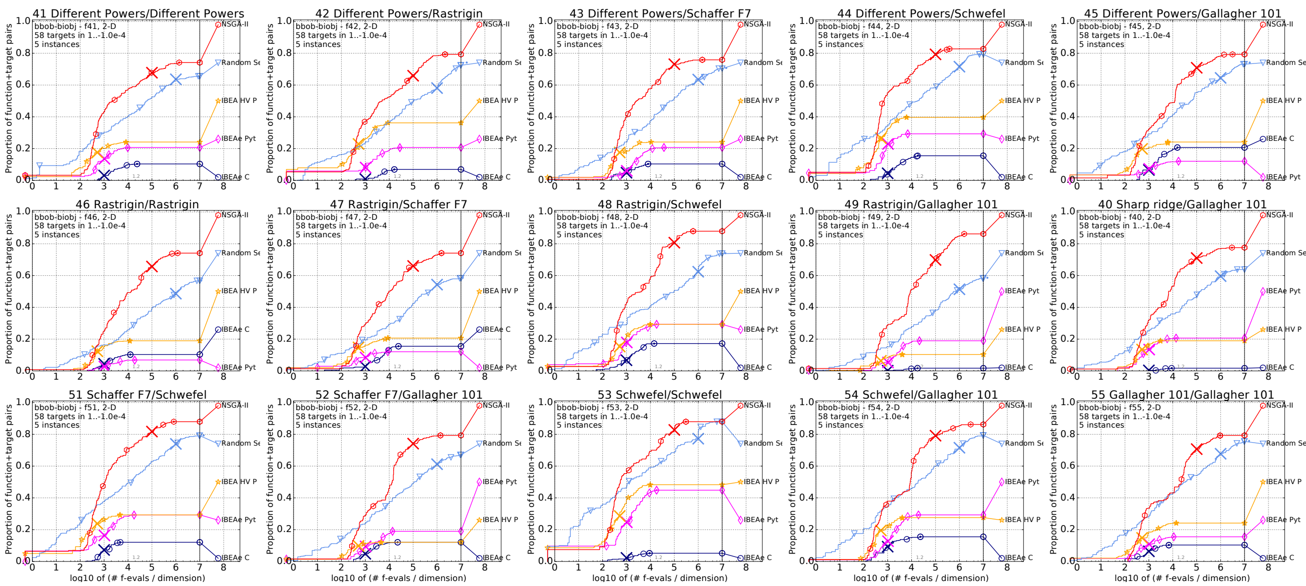

Figure 2: Bootstrapped empirical cumulative distribution of the number of objective function evaluations divided by dimension (FEvals/DIM) as in Fig. 3 but for functions f_{41} to f_{55} in 2-D.

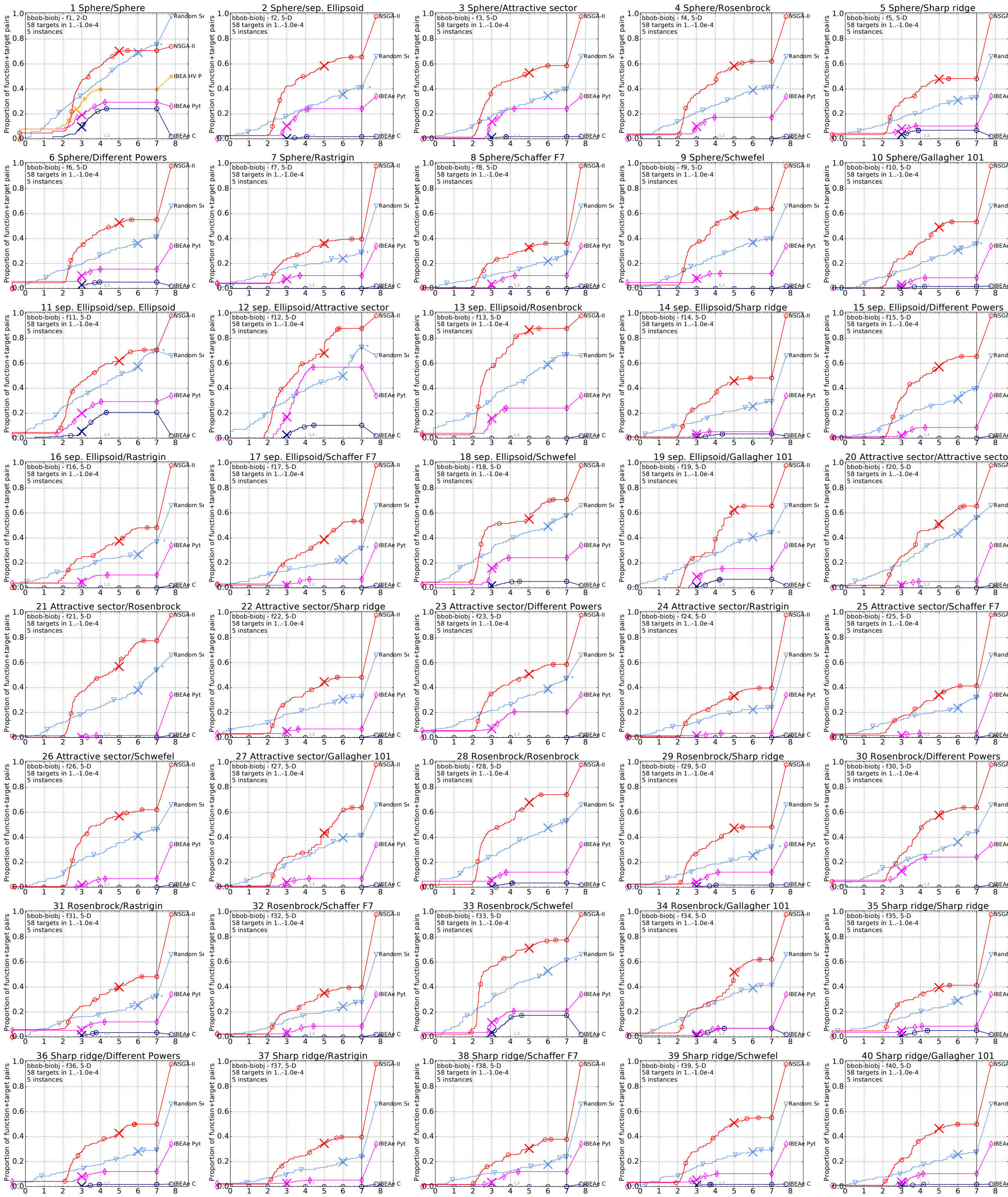

Figure 3: Bootstrapped empirical cumulative distribution of the number of objective function evaluations divided by dimension (FEvals/DIM) for 58 targets with target precision in $\{-10^{-4}, -10^{-4.2}, -10^{-4.4}, -10^{-4.6}, -10^{-4.8}, -10^{-5}, 0, 10^{-5}, 10^{-4.9}, 10^{-4.8}, \ldots, 10^{-0.1}, 10^{0}\}$ for each single function f_1 to f_{40} in 2-D.

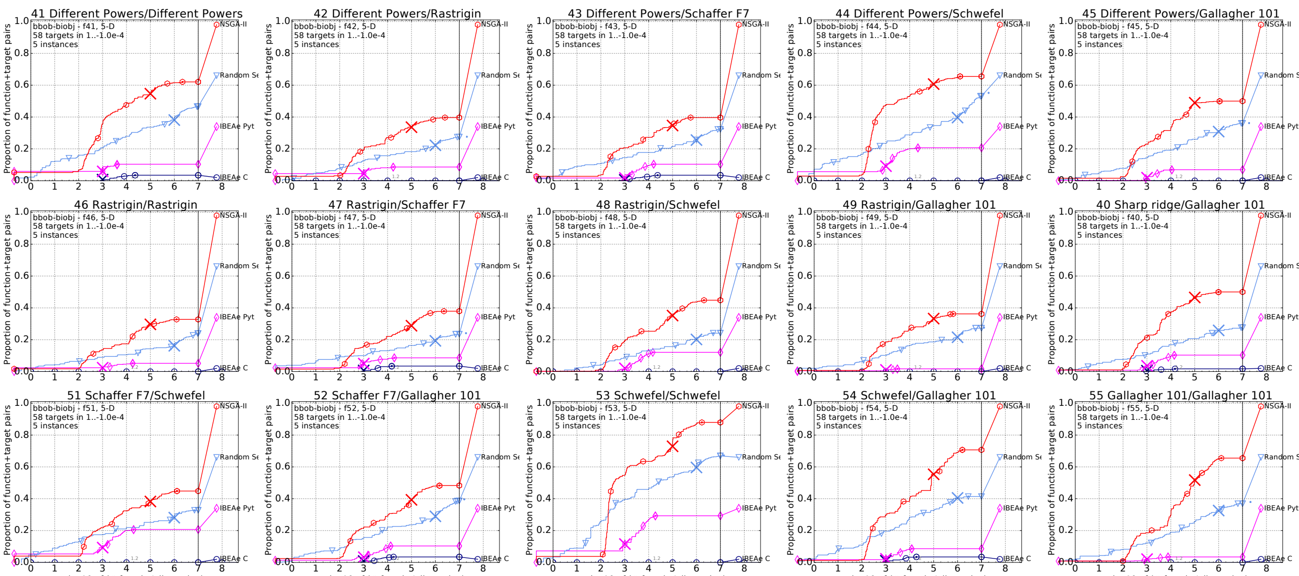

Figure 4: Bootstrapped empirical cumulative distribution of the number of objective function evaluations divided by dimension (FEvals/DIM) as in Fig. 3 but for functions f_{41} to f_{55} in 2-D.

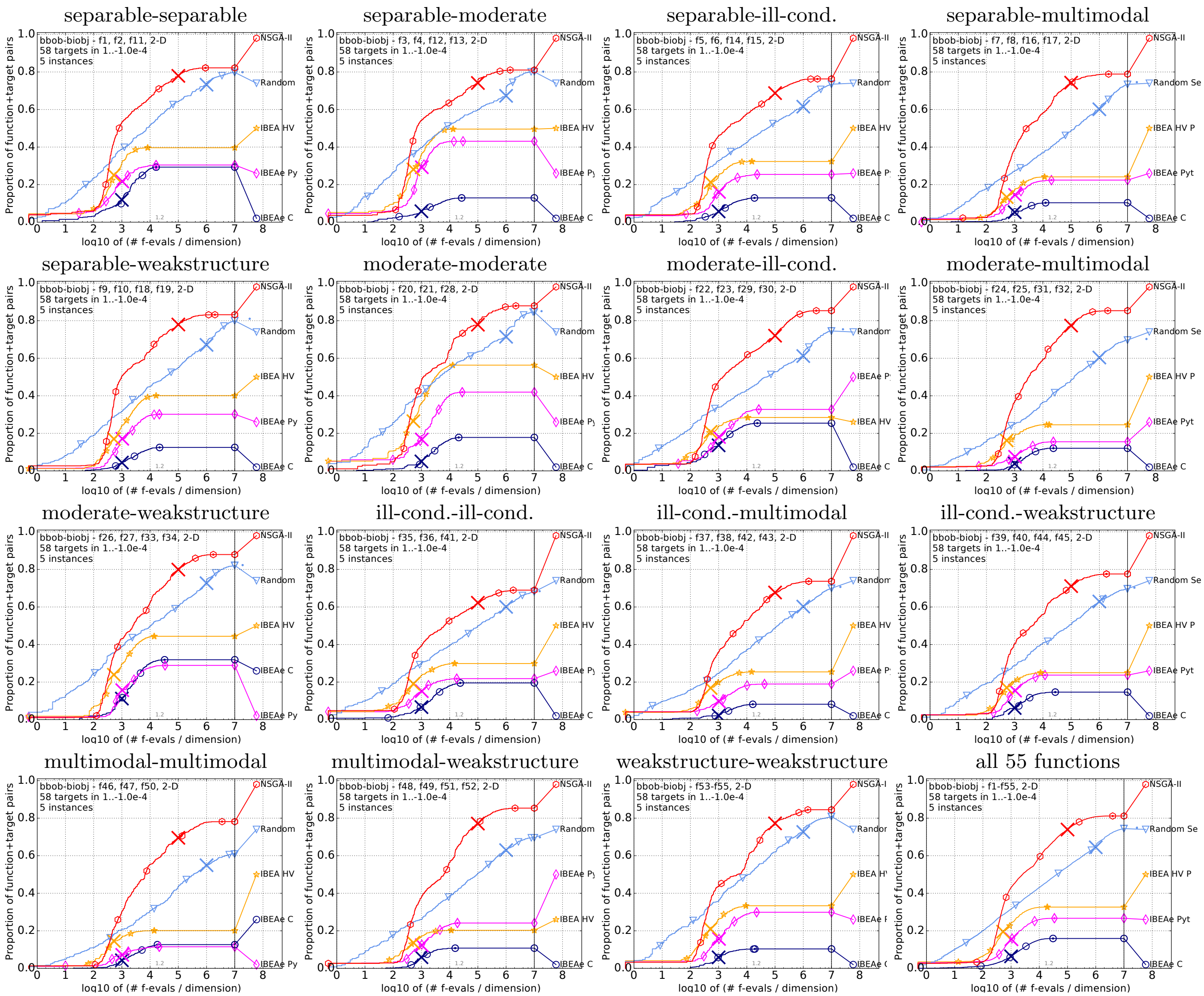

Figure 5: Bootstrapped empirical cumulative distribution of the number of objective function evaluations divided by dimension (FEvals/DIM) for 58 **targets with target precision in** $\{-10^{-4}, -10^{-4.2}, -10^{-4.4}, -10^{-4.6}, -10^{-4.8}, -10^{-5}, 0, 10^{-5}, 10^{-4.9}, 10^{-4.8}, \ldots, 10^{-0.1}, 10^{0}\}$ **for all functions and subgroups in 4-D.**

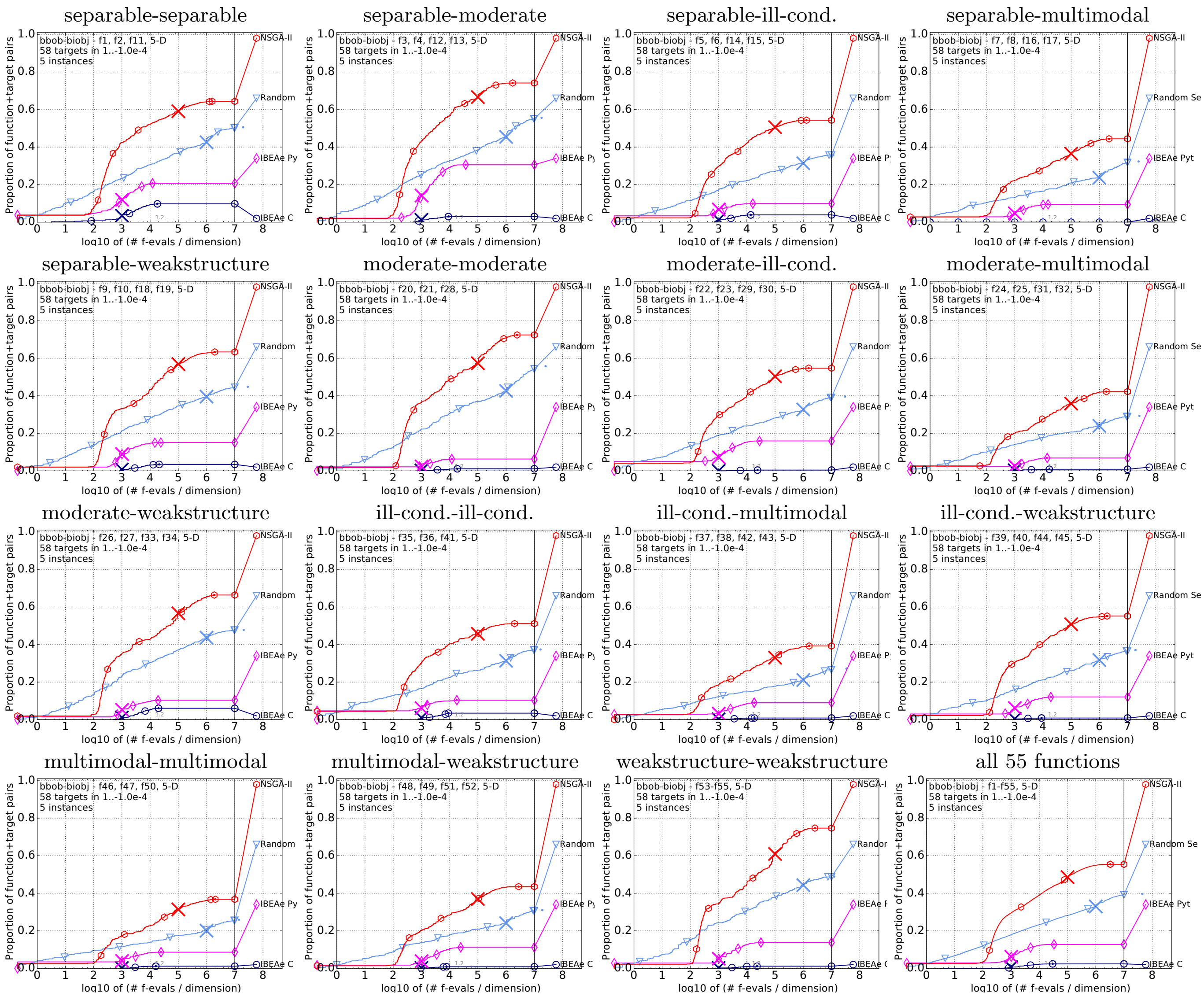

Figure 6: Bootstrapped empirical cumulative distribution of the number of objective function evaluations divided by dimension (FEvals/DIM) for 58 targets with target precision in $\{-10^{-4}, -10^{-4.2}, -10^{-4.4}, -10^{-4.6}, -10^{-4.8}, -10^{-5}, 0, 10^{-5}, 10^{-4.9}, 10^{-4.8}, \ldots, 10^{-0.1}, 10^{0}\}$ for all functions and subgroups in 20-D.

6. REFERENCES

[1] H.-G. Beyer and K. Deb. Self-adaptive genetic algorithms with simulated binary crossover. 2001.

[2] D. Brockhoff, T. Tušar, D. Tušar, T. Wagner, N. Hansen, and A. Auger. Biobjective performance assessment with the coco platform. *arXiv preprint arXiv:1605.01746*, 2016.

[3] K. Deb and R. B. Agrawal. Simulated binary crossover for continuous search space. *Complex Systems*, 9(3):1–15, 1994.

[4] K. Deb, A. Pratap, S. Agarwal, and T. Meyarivan. A fast and elitist multiobjective genetic algorithm: Nsga-ii. *IEEE transactions on evolutionary computation*, 6(2):182–197, 2002.

[5] N. Hansen, D. V. Arnold, and A. Auger. Evolution strategies. pages 871–898, 2015.

[6] N. Hansen, A. Auger, O. Mersmann, T. Tušar, and D. Brockhoff. COCO: A platform for comparing continuous optimizers in a black-box setting. *ArXiv e-prints*, arXiv:1603.08785, 2016.

[7] N. Hansen, T. Tusar, O. Mersmann, A. Auger, and D. Brockhoff. Coco: The experimental procedure. *arXiv preprint arXiv:1603.08776*, 2016.

[8] T. Tusar, D. Brockhoff, N. Hansen, and A. Auger. Coco: The bi-objective black box optimization benchmarking (bbob-biobj) test suite. *arXiv preprint arXiv:1604.00359*, 2016.

[9] E. Zitzler and S. Künzli. Indicator-based selection in multiobjective search. pages 832–842, 2004.

Δf	1e0	1e-1	1e-2	1e-3	#succ
f1					
IBEA	1226(457)	8440(5000)	∞	∞ *2000*	0/5
IBEA	**1**(0)	1650(554)	∞	∞ *2063*	0/5
IBEA	**1**(0)	1097(1126)	4827(2602)	∞ *1041*	0/5
Rand	4.4(6)	**76**(44)	2202(1709)	6.9e4(5e4)	0/5
NSGA	90(28)	547(58)	**847**(156)	**5343**(363)	0/5
f2					
IBEA	4518(2000)	9879(6000)	∞	∞ *2000*	0/5
IBEA	653(172)	2509(4674)	∞	∞ *2063*	0/5
IBEA	781(642)	1475(1301)	∞	∞ *1041*	0/5
Rand	**18**(28)	**409**(572)	5282(5659)	1.6e5(3e5)	0/5
NSGA	191(180)	596(56)	**882**(155)	**1526**(616)	2/5
f3					
IBEA	3128(4042)	∞	∞	∞ *2000*	0/5
IBEA	620(1755)	2880(2668)	∞	∞ *2063*	0/5
IBEA	314(312)	1311(2358)	∞	∞ *1041*	0/5
Rand	663(826)	1.1e4(3e4)	3.8e5(1683)	6.8e5(2e6)	0/5
NSGA	**191**(214)	**704**(202)	**1365**(345)	**2.2e4**(7813)	[illegible]
f4					
IBEA	∞	∞	∞	∞ *2000*	0/5
IBEA	367(411)	1326(295)	∞	∞ *2063*	0/5
IBEA	312(520)	1160(1404)	2119(1590)	∞ *1041*	0/5
Rand	**31**(0)	**194**(420)	1490(1372)	5.2e4(7e4)	0/5
NSGA	152(189)	562(132)	**808**(113)	**1795**(1003)	0/5
f5					
IBEA	2483(3144)	∞	∞	∞ *2000*	0/5
IBEA	378(628)	∞	∞	∞ *2063*	0/5
IBEA	36(44)	4774(4945)	∞	∞ *1041*	0/5
Rand	**5.6**(4)	**213**(182)	1.1e4(2714)	8.6e5(2e6)	0/5
NSGA	148(216)	595(80)	**1832**(1406)	**5.3e4**(3e4)	0/5
f6					
IBEA	1135(1646)	8695(7500)	∞	∞ *2000*	0/5
IBEA	**1**(0)	2510(2162)	∞	∞ *2063*	0/5
IBEA	**1**(0)	853(449)	5086(7547)	∞ *1041*	0/5
Rand	2.8(4)	**62**(52)	1440(1233)	4.4e4(6e4)	0/5
NSGA	71(133)	493(180)	**868**(308)	**7131**(3863)	0/5
f7					
IBEA	3763(5362)	∞	∞	∞ *2000*	0/5
IBEA	178(442)	4024(2012)	∞	∞ *2063*	0/5
IBEA	261(520)	1422(1390)	∞	∞ *1041*	0/5
Rand	**5.2**(5)	990(159)	4.5e4(4e4)	9.5e5(2e6)	0/5
NSGA	170(274)	**726**(317)	**3942**(5600)	**2.5e4**(1e4)	0/5
f8					
IBEA	3988(3500)	∞	∞	∞ *2000*	0/5
IBEA	583(572)	4764(2020)	∞	∞ *2063*	0/5
IBEA	512(580)	2225(781)	∞	∞ *1041*	0/5
Rand	**50**(96)	4980(8919)	9.4e4(1e5)	1.7e6(1e6)	0/5
NSGA	382(228)	**825**(173)	**1648**(183)	**9484**(3741)	0/5
f9					
IBEA	3940(2788)	∞	∞	∞ *2000*	0/5
IBEA	837(768)	4448(2855)	9453(1e4)	∞ *2063*	0/5
IBEA	605(687)	4561(8328)	5049(2863)	∞ *1041*	0/5
Rand	**21**(24)	**344**(296)	8842(1e4)	3.5e5(3e5)	0/5
NSGA	311(354)	678(192)	**923**(126)	**3555**(1952)	0/5
f10					
IBEA	880(2118)	9578(6500)	∞	∞ *2000*	0/5
IBEA	347(359)	4266(5331)	∞	∞ *2063*	0/5
IBEA	375(110)	1539(521)	∞	∞ *1041*	0/5
Rand	**7.2**(10)	**491**(452)	1.3e4(9389)	4.0e5(4e5)	0/5
NSGA	190(260)	606(166)	**1376**(455)	**9039**(6929)	0/5
f11					
IBEA	583(562)	1581(2000)	8628(3000)	∞ *2000*	0/5
IBEA	162(381)	726(651)	∞	∞ *2063*	0/5
IBEA	278(33)	533(1064)	900(804)	∞ *1041*	0/5
Rand	**17**(0.5)	**289**(697)	8054(9886)	1.8e5(5e5)	4/5
NSGA	107(264)	382(300)	**596**(317)	**1812**(703)	3/5
f12					
IBEA	322(360)	3550(7500)	∞	∞ *2000*	0/5
IBEA	302(752)	1646(2508)	3552(4747)	**4105**(5673)	0/5
IBEA	72(177)	494(456)	1897(2863)	4734(4684)	0/5
Rand	**2.0**(2)	5.0e5(2e6)	1.3e6(5e6)	1.3e6(2e6)	2/5
NSGA	126(274)	**467**(316)	**1162**(1025)	1.1e4(2e4)	2/5
f13					
IBEA	9712(8000)	∞	∞	∞ *2000*	0/5
IBEA	416(542)	1448(2318)	**1534**(890)	**2639**(1060)	0/5
IBEA	296(329)	774(686)	1966(1099)	5007(2082)	0/5
Rand	**92**(190)	1109(1372)	1.3e4(3e4)	2.9e5(7e5)	4/5
NSGA	242(287)	**514**(268)	1.5e4(4e4)	1.6e4(2e4)	4/5
f14					
IBEA	2161(3824)	∞	∞	∞ *2000*	0/5
IBEA	939(1428)	2680(5570)	∞	∞ *2063*	0/5
IBEA	150(158)	896(525)	∞	∞ *1041*	0/5
Rand	**6.2**(4)	**203**(249)	5.2e5(1e6)	1.9e6(4e6)	0/5
NSGA	139(158)	579(111)	**1209**(299)	**2.3e4**(3e4)	0/5
f15					
IBEA	2337(3166)	∞	∞	∞ *2000*	0/5
IBEA	632(886)	4082(1623)	∞	∞ *2063*	0/5
IBEA	349(412)	1270(2200)	4985(8328)	∞ *1041*	0/5
Rand	**16**(2)	**198**(222)	5.1e5(8406)	6.2e5(1e6)	1/5
NSGA	181(224)	483(156)	**791**(244)	**4111**(6926)	2/5
f16					
IBEA	624(440)	4598(3042)	∞	∞ *2000*	0/5
IBEA	33(34)	2055(3094)	∞	∞ *2063*	0/5
IBEA	98(114)	1328(2265)	5111(4684)	∞ *1041*	0/5
Rand	**5.6**(7)	**139**(241)	2850(2914)	7.3e5(1e6)	0/5
NSGA	54(98)	503(121)	**1372**(757)	**1.3e4**(2e4)	2/5
f17					
IBEA	4194(3739)	∞	∞	∞ *2000*	0/5
IBEA	1159(511)	∞	∞	∞ *2063*	0/5
IBEA	1179(1048)	∞	∞	∞ *1041*	0/5
Rand	**19**(3)	1185(1623)	2.9e4(3e4)	6.5e5(6e5)	0/5
NSGA	460(126)	**877**(300)	**1859**(1270)	**5376**(5994)	1/5
f18					
IBEA	3408(4154)	∞	∞	∞ *2000*	0/5
IBEA	390(292)	1115(652)	4274(6705)	∞ *2063*	0/5
IBEA	619(1399)	2048(1896)	∞	∞ *1041*	0/5
Rand	**15**(28)	**146**(306)	1449(1274)	1.4e6(2e6)	1/5
NSGA	170(224)	490(149)	**726**(145)	**1368**(345)	3/5
f19					
IBEA	3890(4000)	∞	∞	∞ *2000*	0/5
IBEA	2247(1692)	∞	∞	∞ *2063*	0/5
IBEA	441(347)	4397(4424)	**4524**(2863)	**4569**(4424)	0/5
Rand	**137**(330)	**851**(880)	5009(4836)	8.1e4(9e4)	1/5
NSGA	334(251)	1908(2540)	8294(9040)	9109(1e4)	4/5

Δf	1e0	1e-1	1e-2	1e-3	#succ
f20					
IBEA	3025(4508)	∞	∞	∞ *2000*	0/5
IBEA	517(516)	3435(4812)	∞	∞ *2063*	0/5
IBEA	404(520)	1688(3060)	4305(4164)	**4777**(8328)	0/5
Rand	**134**(140)	1837(2225)	1.2e5(3e5)	8.9e5(1e6)	0/5
NSGA	371(431)	**693**(537)	**1228**(311)	1.1e4(1e4)	1/5
f21					
IBEA	3694(5588)	9894(9500)	∞	∞ *2000*	0/5
IBEA	1713(3094)	2505(2047)	9554(2e4)	∞ *2063*	0/5
IBEA	309(190)	1988(1822)	**4752**(9109)	**4969**(3644)	0/5
Rand	**8.6**(6)	**227**(112)	7747(8586)	1.8e5(2e5)	2/5
NSGA	338(214)	5220(1e4)	5763(1e4)	1.5e4(3e4)	2/5
f22					
IBEA	1738(1064)	8006(1e4)	∞	∞ *2000*	0/5
IBEA	424(756)	9508(9799)	9881(1e4)	∞ *2063*	0/5
IBEA	89(80)	2262(2181)	∞	∞ *1041*	0/5
Rand	**3.6**(2)	**660**(431)	3.0e4(3e4)	3.2e6(4e6)	0/5
NSGA	242(189)	670(145)	**1697**(1170)	**3.6e4**(4e4)	0/5
f23					
IBEA	556(1994)	1328(858)	∞	∞ *2000*	0/5
IBEA	29(36)	1046(617)	9641(1e4)	∞ *2063*	0/5
IBEA	40(48)	310(386)	∞	∞ *1041*	0/5
Rand	**2.6**(2)	**57**(88)	1.3e6(2e6)	1.4e6(4e6)	0/5
NSGA	50(61)	423(160)	**857**(268)	**7093**(7127)	1/5
f24					
IBEA	∞	∞	∞	∞ *2000*	0/5
IBEA	615(1032)	9773(7736)	∞	∞ *2063*	0/5
IBEA	136(195)	5079(4164)	∞	∞ *1041*	0/5
Rand	**9.0**(14)	1264(1210)	2.5e4(2e4)	1.2e6(6e6)	0/5
NSGA	80(190)	**856**(204)	**4719**(4220)	**2.0e4**(2e4)	1/5
f25					
IBEA	1878(866)	∞	∞	∞ *2000*	0/5
IBEA	742(1042)	9595(7736)	∞	∞ *2063*	0/5
IBEA	281(380)	5197(6506)	∞	∞ *1041*	0/5
Rand	**6.0**(4)	**403**(394)	2.8e4(3e4)	5.7e5(9e5)	0/5
NSGA	190(220)	687(182)	**1350**(322)	**3026**(1604)	1/5
f26					
IBEA	3287(5723)	3848(5500)	9136(1e4)	9136(6000)	0/5
IBEA	1979(754)	4832(4568)	∞	∞ *2063*	0/5
IBEA	377(316)	1837(2478)	**2162**(2478)	**4729**(2863)	0/5
Rand	**12**(8)	**274**(329)	1.8e4(4e4)	3.0e5(4e5)	1/5
NSGA	327(252)	782(547)	6305(1e4)	1.3e4(3e4)	1/5
f27					
IBEA	3084(3504)	∞	∞	∞ *2000*	0/5
IBEA	606(716)	4558(5244)	∞	∞ *2063*	0/5
IBEA	166(184)	4968(5465)	∞	∞ *1041*	0/5
Rand	**18**(15)	**299**(250)	**5428**(6275)	1.2e5(9e4)	0/5
NSGA	215(212)	1094(956)	7403(9920)	**1.1e4**(1e4)	1/5
f28					
IBEA	3400(2500)	8707(4500)	∞	∞ *2000*	0/5
IBEA	1991(3610)	3192(6608)	8752(9799)	8949(1e4)	0/5
IBEA	221(296)	352(404)	1062(1220)	**4822**(2342)	0/5
Rand	**5.4**(8)	**64**(142)	1256(1684)	3.2e4(5e4)	3/5
NSGA	291(154)	502(214)	**851**(495)	4970(4814)	3/5
f29					
IBEA	9253(5500)	∞	∞	∞ *2000*	0/5
IBEA	693(1724)	∞	∞	∞ *2063*	0/5
IBEA	191(426)	∞	∞	∞ *1041*	0/5
Rand	**34**(80)	**219**(169)	1.5e4(2e4)	1.5e6(1e6)	0/5
NSGA	197(114)	616(171)	**1193**(354)	**1.5e4**(1e4)	0/5
f30					
IBEA	263(292)	832(968)	∞	∞ *2000*	0/5
IBEA	121(300)	1454(1117)	∞	∞ *2063*	0/5
IBEA	31(76)	704(531)	2284(1562)	∞ *1041*	0/5
Rand	**1.4**(0.5)	**13**(9)	**664**(1237)	2.6e4(4e4)	0/5
NSGA	119(148)	409(106)	757(113)	**1526**(500)	1/5
f31					
IBEA	1650(1271)	9945(1e4)	∞	∞ *2000*	0/5
IBEA	538(1053)	9503(8768)	∞	∞ *2063*	0/5
IBEA	76(62)	632(912)	∞	∞ *1041*	0/5
Rand	**2.4**(2)	**498**(568)	6.7e4(1e5)	3.3e5(3e5)	0/5
NSGA	241(262)	774(253)	**6499**(1e4)	**1.4e4**(1e4)	0/5
f32					
IBEA	3684(4105)	8965(5000)	∞	∞ *2000*	0/5
IBEA	4300(5016)	∞	∞	∞ *2063*	0/5
IBEA	160(124)	4855(5205)	∞	∞ *1041*	0/5
Rand	**28**(32)	2598(3418)	3.9e4(3e4)	1.7e6(2e6)	0/5
NSGA	433(68)	**877**(124)	**3874**(6062)	**7327**(4648)	0/5
f33					
IBEA	4186(3500)	∞	∞	∞ *2000*	0/5
IBEA	803(393)	2674(2646)	∞	∞ *2063*	0/5
IBEA	226(178)	554(337)	4862(2082)	5020(5205)	0/5
Rand	**3.0**(3)	**49**(73)	7563(9050)	2.9e5(1e4)	1/5
NSGA	297(200)	568(458)	**888**(950)	**4620**(4727)	2/5
f34					
IBEA	1960(4224)	8407(5000)	∞	∞ *2000*	0/5
IBEA	176(437)	2536(1688)	∞	∞ *2063*	0/5
IBEA	19(45)	884(1103)	5004(8068)	∞ *1041*	0/5
Rand	**4.0**(3)	**297**(253)	2059(1433)	3.6e4(2e4)	0/5
NSGA	161(210)	611(212)	**1138**(56)	**4375**(4103)	1/5
f35					
IBEA	1262(1706)	9135(8500)	∞	∞ *2000*	0/5
IBEA	29(35)	3781(2893)	∞	∞ *2063*	0/5
IBEA	74(182)	1218(1906)	∞	∞ *1041*	0/5
Rand	**3.4**(5)	**285**(292)	2.3e4(3e4)	1.7e6(2e6)	0/5
NSGA	111(151)	570(177)	**1929**(1378)	**7.0e4**(5e4)	0/5
f36					
IBEA	986(1500)	8520(9500)	∞	∞ *2000*	0/5
IBEA	292(728)	2232(5213)	∞	∞ *2063*	0/5
IBEA	261(781)	644(517)	∞	∞ *1041*	0/5
Rand	**4.2**(4)	**387**(446)	2.1e4(5e4)	6.8e5(2e6)	0/5
NSGA	107(265)	630(152)	**1372**(247)	**2.6e4**(2e4)	0/5
f37					
IBEA	3289(6267)	∞	∞	∞ *2000*	0/5
IBEA	283(542)	∞	∞	∞ *2063*	0/5
IBEA	94(49)	4652(8068)	∞	∞ *1041*	0/5
Rand	**2.0**(2)	2391(526)	8.4e4(2e4)	1.4e6(1e6)	0/5
NSGA	192(336)	**760**(243)	**3917**(3156)	**4.8e4**(3e4)	0/5

Δf	1e0	1e-1	1e-2	1e-3	#succ
f38					
IBEA	1382(1515)	∞	∞	∞ *2000*	0/5
IBEA	182(234)	∞	∞	∞ *2063*	0/5
IBEA	287(781)	1403(1401)	∞	∞ *1041*	0/5
Rand	**1.6**(0.5)	**379**(394)	8465(6593)	3.3e5(3e5)	0/5
NSGA	93(122)	676(22)	**1668**(378)	**2.1e4**(1e4)	0/5
f39					
IBEA	1808(1207)	3972(3244)	∞	∞ *2000*	0/5
IBEA	837(1119)	2397(1762)	∞	∞ *2063*	0/5
IBEA	805(603)	∞	∞	∞ *1041*	0/5
Rand	**18**(28)	**420**(299)	2.9e4(2e4)	3.8e6(4e6)	0/5
NSGA	264(268)	690(78)	**1431**(702)	**2.5e4**(3e4)	0/5
f40					
IBEA	9877(7000)	∞	∞	∞ *2000*	0/5
IBEA	677(454)	8943(7736)	∞	∞ *2063*	0/5
IBEA	177(61)	2406(2042)	∞	∞ *1041*	0/5
Rand	**2.0**(0.5)	**761**(539)	1.8e4(2e4)	5.6e5(6e5)	0/5
NSGA	279(245)	906(378)	**6671**(1e4)	**1.9e4**(1e4)	0/5
f41					
IBEA	4242(3606)	∞	∞	∞ *2000*	0/5
IBEA	522(930)	4158(4658)	∞	∞ *2063*	0/5
IBEA	198(298)	852(643)	∞	∞ *1041*	0/5
Rand	**3.0**(0.5)	**219**(58)	6677(2794)	2.4e5(1e5)	0/5
NSGA	246(208)	598(39)	**1090**(57)	**8817**(5514)	0/5
f42					
IBEA	8755(7000)	∞	∞	∞ *2000*	0/5
IBEA	517(1547)	9776(2e4)	∞	∞ *2063*	0/5
IBEA	68(166)	1140(1272)	5135(6506)	∞ *1041*	0/5
Rand	**6.2**(2)	2497(3062)	2.3e4(2e4)	8.8e5(3e6)	0/5
NSGA	107(152)	**677**(174)	**1857**(1102)	**2.5e4**(1e4)	0/5
f43					
IBEA	3510(5968)	∞	∞	∞ *2000*	0/5
IBEA	1376(4642)	9800(6189)	∞	∞ *2063*	0/5
IBEA	101(209)	4610(6766)	∞	∞ *1041*	0/5
Rand	**2.8**(2)	**573**(465)	1.6e4(1e4)	2.3e5(2e5)	0/5
NSGA	185(154)	715(123)	**1523**(440)	**9809**(9991)	0/5
f44					
IBEA	2168(3372)	∞	∞	∞ *2000*	0/5
IBEA	619(872)	2246(3249)	∞	∞ *2063*	0/5
IBEA	239(339)	614(855)	2312(3676)	∞ *1041*	0/5
Rand	**4.6**(3)	**357**(834)	3447(5184)	2.3e5(4e5)	0/5
NSGA	195(268)	532(138)	**849**(188)	**1627**(690)	0/5
f45					
IBEA	1394(1215)	9132(1e4)	∞	∞ *2000*	0/5
IBEA	245(360)	∞	∞	∞ *2063*	0/5
IBEA	52(78)	1371(1080)	∞	∞ *1041*	0/5
Rand	**7.8**(5)	**217**(151)	1.1e4(1e4)	3.3e5(4e5)	0/5
NSGA	152(171)	652(110)	**4602**(4401)	**2.1e4**(2e4)	0/5
f46					
IBEA	1996(4602)	∞	∞	∞ *2000*	0/5
IBEA	1643(2184)	∞	∞	∞ *2063*	0/5
IBEA	332(190)	5197(4424)	∞	∞ *1041*	0/5
Rand	**30**(11)	7120(1e4)	2.1e5(3e5)	3.8e6(6e6)	0/5
NSGA	248(225)	**1072**(325)	**6613**(4863)	**5.9e4**(6e4)	0/5
f47					
IBEA	3931(3892)	∞	∞	∞ *2000*	0/5
IBEA	675(1036)	∞	∞	∞ *2063*	0/5
IBEA	197(260)	4806(3904)	∞	∞ *1041*	0/5
Rand	**5.2**(6)	3813(8204)	7.8e4(9e4)	2.2e6(2e6)	0/5
NSGA	112(172)	**862**(200)	**5473**(6272)	**3.6e4**(3e4)	0/5
f48					
IBEA	3360(4252)	∞	∞	∞ *2000*	0/5
IBEA	369(7)	2903(1638)	∞	∞ *2063*	0/5
IBEA	493(492)	1203(1313)	∞	∞ *1041*	0/5
Rand	**8.0**(8)	3856(4761)	2.1e5(5e5)	6.6e5(6e5)	0/5
NSGA	285(284)	**715**(258)	**1292**(818)	**1.4e4**(2e4)	0/5
f49					
IBEA	9450(1e4)	∞	∞	∞ *2000*	0/5
IBEA	877(740)	9765(1e4)	∞	∞ *2063*	0/5
IBEA	480(446)	∞	∞	∞ *1041*	0/5
Rand	**22**(36)	3900(5215)	1.4e5(1e5)	2.4e6(2e6)	0/5
NSGA	284(259)	**1151**(760)	**6833**(6736)	**4.1e4**(4e4)	0/5
f50					
IBEA	4287(2656)	∞	∞	∞ *2000*	0/5
IBEA	263(327)	∞	∞	∞ *2063*	0/5
IBEA	69(120)	2294(1380)	∞	∞ *1041*	0/5
Rand	**3.8**(2)	758(924)	2.0e4(1e4)	5.8e5(2e5)	0/5
NSGA	230(186)	**743**(272)	**1755**(256)	**7294**(5086)	0/5
f51					
IBEA	1493(1543)	∞	∞	∞ *2000*	0/5
IBEA	77(190)	2174(2834)	∞	∞ *2063*	0/5
IBEA	26(63)	459(273)	∞	∞ *1041*	0/5
Rand	**2.8**(1)	**65**(72)	1976(1133)	4.0e4(5e4)	0/5
NSGA	62(152)	482(52)	**919**(142)	**2385**(755)	2/5
f52					
IBEA	2320(3153)	∞	∞	∞ *2000*	0/5
IBEA	547(1026)	9681(1e4)	∞	∞ *2063*	0/5
IBEA	96(152)	∞	∞	∞ *1041*	0/5
Rand	**9.4**(13)	**572**(502)	2.0e4(2e4)	3.1e5(2e5)	0/5
NSGA	328(218)	4415(4688)	**1.1e4**(1e4)	**1.8e4**(7271)	0/5
f53					
IBEA	2202(1431)	∞	∞	∞ *2000*	0/5
IBEA	142(176)	2212(1578)	9474(2e4)	∞ *2063*	0/5
IBEA	70(173)	**467**(337)	**1400**(1895)	∞ *1041*	0/5
Rand	**6.8**(14)	4187(1e4)	1.1e5(10)	5.0e5(5e4)	2/5
NSGA	63(155)	652(552)	1.0e4(1e4)	**1.3e4**(5e3)	[illegible]
f54					
IBEA	1374(1012)	∞	∞	∞ *2000*	0/5
IBEA	1979(2360)	3890(3206)	∞	∞ *2063*	0/5
IBEA	282(308)	1267(1041)	∞	∞ *1041*	0/5
Rand	**6.4**(8)	**258**(229)	**3091**(2347)	6.6e4(6e4)	0/5
NSGA	185(214)	572(172)	8069(9188)	**1.0e4**(8737)	0/5
f55					
IBEA	2064(2443)	∞	∞	∞ *2000*	0/5
IBEA	250(470)	∞	∞	∞ *2063*	0/5
IBEA	52(83)	2356(2558)	∞	∞ *1041*	0/5
Rand	**3.2**(4)	**177**(140)	**4754**(3428)	1.4e5(1e5)	0/5
NSGA	290(18)	1020(746)	1.3e4(2e4)	**4.0e4**(2e4)	0/5

Δf	1e0	1e-1	1e-2	1e-3	#succ
f1					
IBEA	1.2e4(8624)	∞	∞	∞ *5000*	0/5
IBEA	1267(1266)	∞	∞	∞ *5063*	0/5
Rand	**3.6**(3)	4369(6162)	3.0e6(2e6)	∞ *5e6*	0/5
NSGA	76(188)	**1023**(124)	**3465**(2100)	**1.4e5**(7e4)	0/5
f2					
IBEA	2.3e4(2e4)	∞	∞	∞ *5000*	0/5
IBEA	2120(3385)	1.1e4(2e4)	∞	∞ *5063*	0/5
Rand	**25**(30)	2.6e4(3e4)	3.8e6(8e6)	∞ *5e6*	0/5
NSGA	335(418)	**1124**(225)	**2656**(848)	**2.0e5**(3e5)	0/5
f3					
IBEA	1.2e4(8801)	∞	∞	∞ *5000*	0/5
IBEA	1728(1641)	2.3e4(1e4)	∞	∞ *5063*	0/5
Rand	**19**(3)	1.6e4(3e4)	5.1e6(3e6)	∞ *5e6*	0/5
NSGA	397(364)	**2101**(1887)	**1.4e4**(2e4)	**4.9e5**(6e5)	0/5
f4					
IBEA	∞	∞	∞	∞ *5000*	0/5
IBEA	**1**(0)	∞	∞	∞ *5063*	0/5
Rand	11(10)	3184(4877)	1.4e6(2e6)	∞ *5e6*	0/5
NSGA	143(354)	**1005**(135)	**1.4e4**(3e4)	**9.7e4**(1e5)	0/5
f5					
IBEA	1.1e4(8753)	∞	∞	∞ *5000*	0/5
IBEA	**1**(0)	∞	∞	∞ *5063*	0/5
Rand	3.0(3)	9353(8932)	∞	∞ *5e6*	0/5
NSGA	241(303)	**1314**(249)	**2.4e4**(2e4)	∞ *5e5*	0/5
f6					
IBEA	7099(2548)	∞	∞	∞ *5000*	0/5
IBEA	739(1844)	∞	∞	∞ *5063*	0/5
Rand	**5.6**(4)	2941(3185)	4.2e6(3e6)	∞ *5e6*	0/5
NSGA	255(318)	**1290**(342)	**7830**(8228)	**4.6e5**(4e5)	0/5
f7					
IBEA	∞	∞	∞	∞ *5000*	0/5
IBEA	**1**(0)	∞	∞	∞ *5063*	0/5
Rand	1.6(1)	4.8e5(1e6)	∞	∞ *5e6*	0/5
NSGA	130(323)	**4286**(7232)	**3.2e5**(4e5)	∞ *5e5*	0/5
f8					
IBEA	∞	∞	∞	∞ *5000*	0/5
IBEA	4435(3326)	∞	∞	∞ *5063*	0/5
Rand	**74**(88)	1.5e6(2e6)	∞	∞ *5e6*	0/5
NSGA	512(227)	**2311**(380)	**1.2e6**(7e5)	∞ *5e5*	0/5
f9					
IBEA	∞	∞	∞	∞ *5000*	0/5
IBEA	578(0)	∞	∞	∞ *5063*	0/5
Rand	**11**(20)	7503(2e4)	2.4e6(4e6)	∞ *5e6*	0/5
NSGA	255(356)	**3767**(6943)	**6832**(1e4)	**8.2e4**(9e4)	0/5
f10					
IBEA	2.4e4(4e4)	∞	∞	∞ *5000*	0/5
IBEA	4307(5063)	∞	∞	∞ *5063*	0/5
Rand	**20**(27)	2.9e4(3e4)	2.3e7(4e7)	∞ *5e6*	0/5
NSGA	409(362)	**1712**(477)	**8.5e4**(8e4)	**7.5e5**(3e5)	0/5
f11					
IBEA	3657(4383)	2.3e4(4e4)	∞	∞ *5000*	0/5
IBEA	691(1390)	3795(6265)	∞	∞ *5063*	0/5
Rand	**7.4**(4)	2301(2849)	4.5e5(6e5)	2.2e6(4e6)	0/5
NSGA	194(241)	**632**(308)	**1682**(1618)	**7.5e4**(2e5)	0/5
f12					
IBEA	1.0e4(6464)	∞	∞	∞ *5000*	0/5
IBEA	3382(3339)	1.1e4(9625)	2.3e4(3e4)	**2.4e4**(2e4)	0/5
Rand	**27**(24)	9589(2e4)	2.1e6(2e6)	3.6e6(5e6)	0/5
NSGA	497(353)	**1199**(731)	**6969**(1e4)	1.6e5(4e5)	0/5
f13					
IBEA	∞	∞	∞	∞ *5000*	0/5
IBEA	1766(3797)	7352(1e4)	∞	∞ *5063*	0/5
Rand	**47**(73)	1068(1102)	1.3e5(2e5)	4.4e6(5e6)	0/5
NSGA	370(368)	**824**(261)	**7307**(2e4)	**1.8e4**(2e4)	0/5
f14					
IBEA	2.4e4(2e4)	∞	∞	∞ *5000*	0/5
IBEA	1763(4294)	∞	∞	∞ *5063*	0/5
Rand	**5.0**(4)	1.9e5(2e5)	∞	∞ *5e6*	0/5
NSGA	355(302)	**1698**(692)	**5.3e4**(2e4)	∞ *5e5*	0/5
f15					
IBEA	∞	∞	∞	∞ *5000*	0/5
IBEA	4021(8860)	∞	∞	∞ *5063*	0/5
Rand	**49**(44)	4.3e4(6e4)	8.4e6(1e7)	∞ *5e6*	0/5
NSGA	661(352)	**3750**(1169)	**1.3e4**(2e4)	**3.1e5**(3e5)	0/5
f16					
IBEA	∞	∞	∞	∞ *5000*	0/5
IBEA	1267(1266)	∞	∞	∞ *5063*	0/5
Rand	**7.8**(8)	1.8e5(3e5)	2.2e7(2e7)	∞ *5e6*	0/5
NSGA	224(354)	**1617**(1032)	**9.6e5**(5e5)	∞ *5e5*	0/5
f17					
IBEA	∞	∞	∞	∞ *5000*	0/5
IBEA	7596(8860)	∞	∞	∞ *5063*	0/5
Rand	4.9e4(1e5)	1.9e6(7e5)	∞	∞ *5e6*	0/5
NSGA	**593**(562)	**5538**(6698)	**3.2e5**(5e5)	**2.3e6**(3e6)	0/5
f18					
IBEA	1.1e4(6648)	∞	∞	∞ *5000*	0/5
IBEA	1634(780)	1.1e4(7702)	∞	∞ *5063*	0/5
Rand	**8.0**(14)	1145(1364)	4.2e5(5e5)	9.8e6(1e7)	0/5
NSGA	384(398)	**881**(261)	**1371**(456)	**4.5e5**(7e5)	0/5
f19					
IBEA	2.4e4(3e4)	∞	∞	∞ *5000*	0/5
IBEA	3895(4074)	∞	∞	∞ *5063*	0/5
Rand	**3.4**(3)	3281(2130)	5.5e5(5e5)	∞ *5e6*	0/5
NSGA	687(110)	**1746**(726)	**5.9e4**(4e4)	**1.4e5**(2e5)	0/5
f20					
IBEA	∞	∞	∞	∞ *5000*	0/5
IBEA	7596(6329)	∞	∞	∞ *5063*	0/5
Rand	**24**(46)	**5694**(6853)	1.6e6(2e6)	2.0e7(3e7)	0/5
NSGA	5663(1e4)	7664(2e4)	**1.3e4**(2e4)	**2.0e6**(2e6)	0/5
f21					
IBEA	∞	∞	∞	∞ *5000*	0/5
IBEA	7596(1e4)	∞	∞	∞ *5063*	0/5
Rand	**32**(3)	1.4e4(3e4)	5.7e6(5e6)	2.1e7(2e7)	0/5
NSGA	428(382)	**1348**(247)	**1.3e5**(1e5)	**2.2e5**(6e5)	0/5
f22					
IBEA	∞	∞	∞	∞ *5000*	0/5
IBEA	842(2102)	∞	∞	∞ *5063*	0/5
Rand	1.2(0.2)	5793(6446)	∞	∞ *5e6*	0/5
NSGA	**1**(0)	**1504**(279)	**3.8e4**(3e4)	∞ *5e5*	0/5
f23					
IBEA	∞	∞	∞	∞ *5000*	0/5
IBEA	**1**(0)	2.3e4(2e4)	∞	∞ *5063*	0/5
Rand	2.8(2)	2888(1492)	3.8e6(5e6)	∞ *5e6*	0/5
NSGA	276(160)	**1318**(246)	**7494**(7062)	**9.6e5**(2e6)	0/5
f24					
IBEA	∞	∞	∞	∞ *5000*	0/5
IBEA	7596(5063)	∞	∞	∞ *5063*	0/5
Rand	**24**(44)	1.6e5(1e5)	∞	∞ *5e6*	0/5
NSGA	486(421)	**3617**(2267)	**1.0e6**(1e6)	∞ *5e5*	0/5
f25					
IBEA	∞	∞	∞	∞ *5000*	0/5
IBEA	1267(2532)	∞	∞	∞ *5063*	0/5
Rand	**14**(30)	1.3e6(1e6)	∞	∞ *5e6*	0/5
NSGA	222(554)	**1.6e4**(3e4)	**9.3e5**(1e6)	∞ *5e5*	0/5
f26					
IBEA	∞	∞	∞	∞ *5000*	0/5
IBEA	9300(9713)	∞	∞	∞ *5063*	0/5
Rand	**34**(58)	3706(2966)	1.7e6(4e5)	∞ *5e6*	0/5
NSGA	529(530)	**2668**(3106)	**4265**(5182)	**7.8e4**(6e4)	0/5
f27					
IBEA	∞	∞	∞	∞ *5000*	0/5
IBEA	2953(7352)	∞	∞	∞ *5063*	0/5
Rand	**7.0**(6)	4181(2924)	1.7e6(2e6)	∞ *5e6*	0/5
NSGA	336(320)	**4138**(6840)	**3.5e5**(2e5)	**2.3e6**(2e6)	0/5
f28					
IBEA	2.4e4(3e4)	∞	∞	∞ *5000*	0/5
IBEA	3376(5063)	∞	∞	∞ *5063*	0/5
Rand	**66**(151)	4415(233)	7.4e5(3e4)	2.4e7(4e7)	0/5
NSGA	256(385)	**944**(216)	**1698**(616)	**4.2e4**(4e4)	0/5
f29					
IBEA	2.4e4(1e4)	∞	∞	∞ *5000*	0/5
IBEA	3376(7594)	∞	∞	∞ *5063*	0/5
Rand	**18**(20)	1.3e6(3e6)	∞	∞ *5e6*	0/5
NSGA	425(452)	**1405**(188)	**4.0e4**(4e4)	∞ *5e5*	0/5
f30					
IBEA	∞	∞	∞	∞ *5000*	0/5
IBEA	582(726)	2.3e4(4e4)	∞	∞ *5063*	0/5
Rand	**23**(26)	8334(5184)	3.8e6(1e7)	∞ *5e6*	0/5
NSGA	167(415)	**4890**(300)	**1.8e4**(1e4)	**2.6e5**(3e5)	0/5
f31					
IBEA	1.2e4(7500)	∞	∞	∞ *5000*	0/5
IBEA	1267(3797)	∞	∞	∞ *5063*	0/5
Rand	**9.0**(9)	5.1e5(1e6)	∞	∞ *5e6*	0/5
NSGA	143(354)	**1865**(775)	**2.3e5**(2e5)	∞ *5e5*	0/5
f32					
IBEA	∞	∞	∞	∞ *5000*	0/5
IBEA	4990(1e4)	∞	∞	∞ *5063*	0/5
Rand	**69**(151)	8.8e5(2e6)	∞	∞ *5e6*	0/5
NSGA	317(321)	**1.0e4**(9404)	**1.1e6**(6e5)	∞ *5e5*	0/5
f33					
IBEA	2.3e4(2e4)	∞	∞	∞ *5000*	0/5
IBEA	2962(4530)	2.5e4(3e4)	∞	∞ *5063*	0/5
Rand	**132**(250)	1838(1031)	2.4e4(4e4)	4.7e6(4e6)	0/5
NSGA	356(375)	**847**(64)	**1054**(170)	**4352**(3075)	0/5
f34					
IBEA	2.4e4(3e4)	∞	∞	∞ *5000*	0/5
IBEA	4553(1e4)	∞	∞	∞ *5063*	0/5
Rand	**3.0**(2)	**2309**(1434)	1.6e6(1e6)	∞ *5e6*	0/5
NSGA	207(322)	2817(3377)	**1.3e5**(6e4)	**7.2e5**(8e5)	0/5
f35					
IBEA	1.1e4(1e4)	∞	∞	∞ *5000*	0/5
IBEA	1267(0)	∞	∞	∞ *5063*	0/5
Rand	**2.6**(4)	4.7e4(5e4)	2.3e7(3e7)	∞ *5e6*	0/5
NSGA	128(317)	**1343**(390)	**1.0e5**(1e5)	∞ *5e5*	0/5
f36					
IBEA	1.2e4(1e4)	∞	∞	∞ *5000*	0/5
IBEA	639(1596)	∞	∞	∞ *5063*	0/5
Rand	**5.6**(9)	5.8e4(8e4)	∞	∞ *5e6*	0/5
NSGA	149(370)	**1431**(304)	**1.4e5**(5e5)	∞ *5e5*	0/5
f37					
IBEA	∞	∞	∞	∞ *5000*	0/5
IBEA	1267(6329)	∞	∞	∞ *5063*	0/5
Rand	**16**(25)	4.1e6(6e6)	∞	∞ *5e6*	0/5
NSGA	207(258)	**4898**(4740)	**5.8e5**(1e6)	∞ *5e5*	0/5
f38					
IBEA	∞	∞	∞	∞ *5000*	0/5
IBEA	3376(8860)	∞	∞	∞ *5063*	0/5
Rand	**13**(15)	3.0e6(5e6)	∞	∞ *5e6*	0/5
NSGA	332(306)	**1.1e4**(9710)	**2.2e6**(2e6)	∞ *5e5*	0/5
f39					
IBEA	8021(5146)	∞	∞	∞ *5000*	0/5
IBEA	460(574)	∞	∞	∞ *5063*	0/5
Rand	**5.2**(6)	1.5e4(1e4)	∞	∞ *5e6*	0/5
NSGA	150(186)	**1494**(484)	**2.2e4**(1e4)	**1.1e6**(1e6)	0/5
f40					
IBEA	2.5e4(2e4)	∞	∞	∞ *5000*	0/5
IBEA	2447(3056)	∞	∞	∞ *5063*	0/5
Rand	**7.6**(10)	1.4e5(1e5)	∞	∞ *5e6*	0/5
NSGA	245(305)	**2382**(542)	**3.3e4**(9237)	∞ *5e5*	0/5
f41					
IBEA	2.5e4(1e4)	∞	∞	∞ *5000*	0/5
IBEA	1267(2532)	∞	∞	∞ *5063*	0/5
Rand	**5.4**(4)	9123(2e4)	3.6e6(4e6)	∞ *5e6*	0/5
NSGA	297(372)	**1454**(834)	**4646**(2118)	**4.3e5**(7e5)	0/5
f42					
IBEA	∞	∞	∞	∞ *5000*	0/5
IBEA	1267(0)	∞	∞	∞ *5063*	0/5
Rand	**15**(24)	1.9e6(4e6)	∞	∞ *5e6*	0/5
NSGA	416(554)	**3986**(3017)	**2.0e6**(1e6)	∞ *5e5*	0/5
f43					
IBEA	2.3e4(2e4)	∞	∞	∞ *5000*	0/5
IBEA	7596(2e4)	∞	∞	∞ *5063*	0/5
Rand	**14**(26)	7.9e5(2e6)	∞	∞ *5e6*	0/5
NSGA	319(397)	**7363**(1e4)	**4.6e5**(5e5)	∞ *5e5*	0/5
f44					
IBEA	∞	∞	∞	∞ *5000*	0/5
IBEA	**1**(0)	2.4e4(2e4)	∞	∞ *5063*	0/5
Rand	3.6(4)	5159(5837)	2.9e6(6e6)	2.1e7(4e7)	0/5
NSGA	178(249)	**914**(205)	**1586**(348)	**8.1e4**(3e4)	0/5
f45					
IBEA	∞	∞	∞	∞ *5000*	0/5
IBEA	7596(1e4)	∞	∞	∞ *5063*	0/5
Rand	**12**(24)	6.1e4(1e5)	2.4e7(2e7)	∞ *5e6*	0/5
NSGA	77(190)	**1641**(480)	**5.2e4**(2e4)	∞ *5e5*	0/5
f46					
IBEA	∞	∞	∞	∞ *5000*	0/5
IBEA	3376(3797)	∞	∞	∞ *5063*	0/5
Rand	**3.4**(2)	5.6e6(7e6)	∞	∞ *5e6*	0/5
NSGA	327(454)	**4.4e4**(5e4)	∞	∞ *5e5*	0/5
f47					
IBEA	2.5e4(3e4)	∞	∞	∞ *5000*	0/5
IBEA	2265(1996)	∞	∞	∞ *5063*	0/5
Rand	**14**(30)	2.4e6(3e6)	∞	∞ *5e6*	0/5
NSGA	181(304)	**4.7e4**(1e5)	**2.1e6**(1e6)	∞ *5e5*	0/5
f48					
IBEA	∞	∞	∞	∞ *5000*	0/5
IBEA	8838(1e4)	∞	∞	∞ *5063*	0/5
Rand	**250**(537)	2.2e6(3e6)	∞	∞ *5e6*	0/5
NSGA	625(452)	**4.8e4**(1e5)	**8.2e5**(2e6)	∞ *5e5*	0/5
f49					
IBEA	∞	∞	∞	∞ *5000*	0/5
IBEA	9998(1e4)	∞	∞	∞ *5063*	0/5
Rand	**136**(167)	1.5e6(4e6)	∞	∞ *5e6*	0/5
NSGA	470(487)	**4.8e4**(1e5)	**1.1e6**(2e6)	∞ *5e5*	0/5
f50					
IBEA	∞	∞	∞	∞ *5000*	0/5
IBEA	822(2052)	∞	∞	∞ *5063*	0/5
Rand	2.4(1)	3.8e5(2e5)	∞	∞ *5e6*	0/5
NSGA	**1**(0)	**8126**(8290)	**8.8e5**(1e6)	∞ *5e5*	0/5
f51					
IBEA	∞	∞	∞	∞ *5000*	0/5
IBEA	**1**(0)	2.4e4(1e4)	∞	∞ *5063*	0/5
Rand	6.2(3)	1.6e5(3e5)	∞	∞ *5e6*	0/5
NSGA	307(383)	**4122**(6372)	**2.5e5**(5e5)	∞ *5e5*	0/5
f52					
IBEA	2.4e4(2e4)	∞	∞	∞ *5000*	0/5
IBEA	3376(7594)	∞	∞	∞ *5063*	0/5
Rand	**6.8**(11)	1.4e5(1e5)	2.1e7(4e7)	∞ *5e6*	0/5
NSGA	117(146)	**3996**(4842)	**3.4e5**(4e5)	∞ *5e5*	0/5
f53					
IBEA	∞	∞	∞	∞ *5000*	0/5
IBEA	934(2333)	2.4e4(2e4)	∞	∞ *5063*	0/5
Rand	**23**(26)	**167**(148)	1.8e4(2e4)	1.3e6(1e6)	0/5
NSGA	324(229)	867(140)	**1561**(1098)	**1.3e5**(1e5)	0/5
f54					
IBEA	2.5e4(3e4)	∞	∞	∞ *5000*	0/5
IBEA	3494(4759)	∞	∞	∞ *5063*	0/5
Rand	**7.0**(9)	4300(4265)	9.9e5(5e5)	∞ *5e6*	0/5
NSGA	421(318)	**1221**(212)	**4.9e4**(6e4)	**3.7e5**(4e5)	0/5
f55					
IBEA	∞	∞	∞	∞ *5000*	0/5
IBEA	3694(6744)	∞	∞	∞ *5063*	0/5
Rand	**2.0**(2)	4.9e4(5e4)	2.2e7(3e7)	∞ *5e6*	0/5
NSGA	256(268)	**9836**(1e4)	**1.5e5**(1e5)	**9.6e5**(8e5)	0/5

Table 2: Average runtime (aRT) to reach given targets, measured in number of function evaluations, in dimension 5. For each function, the aRT and, in braces as dispersion measure, the half difference between 10 and 90%-tile of (bootstrapped) runtimes is shown for the different target ΔI-values as shown in the top row. #succ is the number of trials that reached the last target $I^{\mathrm{ref}} + 10^{-5}$. The median number of conducted function evaluations is additionally given in *italics*, if the target in the last column was never reached. Entries, succeeded by a star, are statistically significantly better (according to the rank-sum test) when compared to all other algorithms of the table, with $p = 0.05$ or $p = 10^{-k}$ when the number k following the star is larger than 1, with Bonferroni correction of 55. Best results are printed in bold.